

# МЕТОДИКА

Известия ТСХА, выпуск 4, 1991 год

УДК 634.8:621.039.85

## МЕТОДИКА ГЕНЕРАЦИИ И ВВЕДЕНИЯ $^{14}\text{CO}_2$ В ЛИСТЬЯ РАСТЕНИЯ ВИНОГРАДА С ПОМОЩЬЮ АВТОНОМНОЙ ЦИРКУЛИРУЮЩЕЙ СИСТЕМЫ

В. Г. БУХАНЦОВ, А. С. ПЕЛЬЦЕР

(Кафедра виноградарства и кафедра применения изотопов  
и радиации в сельском хозяйстве)

Предложена методика генерации  $^{14}\text{CO}_2$  и дозированного его введения в листья виноградного растения с помощью системы, обеспечивающей режим циркуляции и кондиционирования  $^{14}\text{CO}_2$ , что позволяет проводить исследования в полевых условиях. При использовании данной методики изучали вклад отдельных листьев в донорно-акцепторные отношения виноградного растения.

Метод радиоактивных индикаторов в настоящее время широко применяется в биологических исследованиях. С его помощью стало возможным изучение таких важных процессов функционирования живого организма, как транспорт веществ, локализация, биосинтез, метаболизм и т. д. Полученные данные о поглощении радиоактивного диоксида углерода ( $^{14}\text{CO}_2$ ) растением в процессе фотосинтеза и включении  $^{14}\text{C}$  в биохимические реакции образования органических веществ позволили определить первичные, промежуточные и конечные продукты фотосинтеза.

Существующие способы введения  $^{14}\text{CO}_2$  в листья различаются по характеру используемой аппаратуры. Возможность их применения определяется целью эксперимента. Устройства для создания

атмосферы  $^{14}\text{CO}_2$  обычно состоят из замкнутых циркулирующих систем. Используются и нециркулирующие системы с генерируением  $^{14}\text{CO}_2$  непосредственно в камерах [4, 7], которые имеют значительные «мертвые пространства», их герметизация и удаление остатков радиоактивной углекислоты затруднены. Применение циркулирующих систем, содержащих аспираторы [5], в полевых условиях сдерживается из-за их громоздкости. Для нормального функционирования таких систем требуется значительное количество  $^{14}\text{CO}_2$ , который хранится в баллонах-газгольдерах [1], что небезопасно. Кроме того, в этих системах не обеспечивается одинаковая дозировка  $^{14}\text{CO}_2$  во всех экспозициях. Предложена пневматическая цепь портативного источника газа, которая, однако, имеет сложную

систему регулировки скорости подачи газа и позволяет хранить запас  $^{14}\text{CO}_2$  [9].

Основным рабочим органом системы циркуляции является насос. Ток газовой смеси создается при работе насосов либо мембранных типа [6], либо перистальтических [10]; и те и другие достаточно громоздки, использование их в полевых условиях затруднительно. Для обеспечения температурного режима, необходимого для нормального функционирования растения, часто в листовые камеры встраивают вентилятор [1, 9], но в этом случае воздух не всегда кондиционируется.

Принцип работы предлагаемой нами системы основан на генерации  $^{14}\text{CO}_2$  путем введения раствора  $\text{Na}_2^{14}\text{CO}_3 + \text{Na}_2\text{CO}_3$  в колбу с

0,1 н. раствором HCl. Колба-реактор герметично соединена с насосом и прозрачной листовой камерой. Мембранный насос обеспечивает циркуляцию газовой смеси и вентиляцию всей системы после окончания экспозиции. Система позволяет вводить дозированное количество  $^{14}\text{CO}_2$  с учетом интенсивности фотосинтеза подкармливаемого листа при циркуляции газовой смеси и ее кондиционировании. Благодаря небольшим габаритам, простоте в обращении прибор достаточно надежен, радиационно безопасен и может длительное время работать в полевых условиях. Конструкция легких листовых камер позволяет устанавливать их, не изменяя первоначальной ориентации листа на побеге.

Устройство прибора показано на

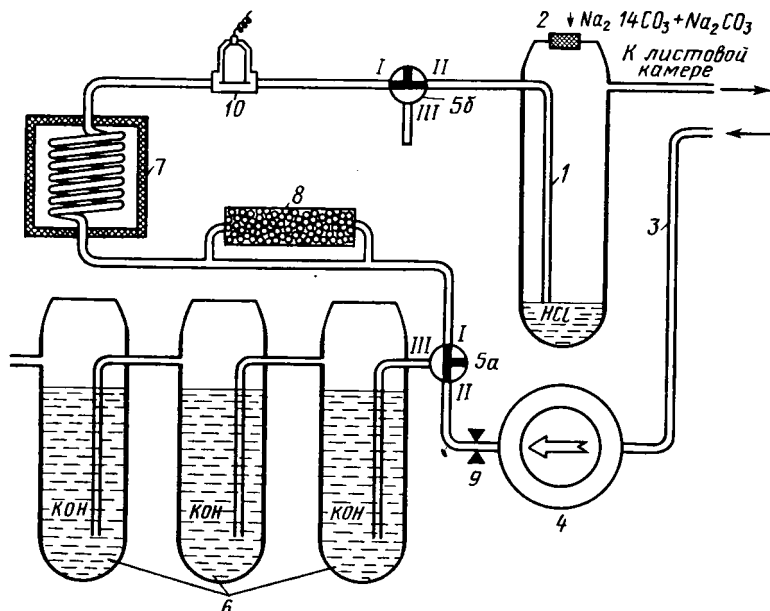


Схема устройства прибора для подкормки листьев  $^{14}\text{CO}_2$ .

1 — реакционная колба; 2 — уплотнительная прокладка; 3 — полиэтиленовые трубы; 4 — мембранный насос; 5 а и 5 б — трехходовые краны; 6 — поглотители  $^{14}\text{CO}_2$ ; 7 - холодильник; 8 — осушитель газа; 9 — регулирующий кран; 10 — счетчик радиоактивности.

рисунке. Прибор состоит из колбы-реактора (1), содержащей 0,1 н. раствор HCl. Раствор  $\text{Na}_2^{14}\text{CO}_3 + \text{Na}_2\text{CO}_3$ , хранившийся в герметично закрытых фляконах, вводится в колбу-реактор шприцем через уплотнительную прокладку (2) непосредственно перед экспозицией, что исключает возможность изотопного обмена с  $\text{CO}_2$  воздуха. Колба-реактор соединена с входом листовой камеры гибкими полиэтиленовыми трубками (3). Выход этой камеры соединен с вакуумной линией мембранных насоса (4). Нагнетающая линия насоса подключена к трехходовому крану (5a), который позволяет переключать режимы циркуляции или поглощения остатков радиоактивного газа системой поглотителей (6), содержащих 30 % раствор KOH. Другой трехходовой кран (5b) соединяет систему с атмосферой и обеспечивает вентилирование. Кроме того, кран позволяет контролировать герметичность листовой камеры, что является основным условием эксперимента. В положении III-II крана (5b) воздух атмосферы проникает через капилляр водного затвора колбы-реактора только в том случае, если листовая камера герметична и в колбе создается разряжение.

В камере с помещенным в нее листом при циркуляции воздуха температура на 2–3 °C выше, чем окружающего воздуха, что нарушает ход фотосинтеза и приводит к искашению результатов. Поэтому в систему циркуляции включен ходильник (7), поддерживающий температуру в листовой камере на уровне температуры окружающей среды. Благодаря транспирации листьев влажность в листовой камере увеличивается, что также нарушает естественный ход фотосинтеза. В связи с этим часть газовой смеси пропускается через осуши-

тель (8), заполненный хлористым кальцием. Скорость газового потока предварительно регулируется краном (9), до введения  $^{14}\text{CO}_2$ .

Для определения интенсивности фотосинтеза к прибору подключается счетчик регистрации  $\beta$ -частиц (10) типа «БЕТА». По убыли радиоактивности можно рассчитать интенсивность фотосинтеза, а также зафиксировать наличие  $^{14}\text{CO}_2$  в системе.

В системе используется миниатюрный насос мембранных типа производительностью 40 л/ч, обеспечивающий циркуляцию газовой смеси в системе объемом 1,5 л. Насос сконструирован на базе микропрессора МК-2 и отличается от него способом активации мембраны. В микропрессоре МК-2 колебания мембранны осуществляются с частотой, соответствующей колебаниям сердечника, помещенного в поле электромагнита переменного тока 50 Гц. В предлагаемой конструкции колебания передаются мемbrane через упругую пластинку от эксцентрика, закрепленного на вале микродвигателя, питавшегося от батареи 9 В. Производительность насоса можно регулировать как шагом эксцентрика, так и числом оборотов двигателя. Параллельное включение двух насосов увеличивает производительность вдвое. Изменена и сама конструкция МК-2, работающего как компрессор и вакуум-насос.

С помощью описанной автономной циркулирующей системы изучали вклад листьев различных ярусов плодоносящего побега виноградного растения в обеспечение потребляющих органов продуктами фотосинтеза. Для подкормки листа готовили растворы, содержащие  $\text{Na}_2^{14}\text{CO}_3$  с удельной радиоактивностью 925 кБк/мл и  $\text{Na}_2\text{CO}_3$  в качестве носителя, с учетом интенсив-

Распределение меченого углерода по побегу в зависимости от расположения листа с поглощенным  $^{14}\text{CO}_2$  в фазу цветения (% к общему количеству поступившего в растение  $^{14}\text{C}$ )

Часть побега	Лист с поглощенным $^{14}\text{CO}_2$					
	молодой	верхней части побега	средней части побега	над соцветием	напротив соцветия	под соцветием
Апекс	$0,56 \pm 0,12$	$6,5 \pm 2,7$	$0,72 \pm 0,31$	—	$0,02 \pm 0,01$	—
Молодые листья	$96,2 \pm 3,4^*$	$29,2 \pm 4,0$	$9,3 \pm 3,2$	$0,15 \pm 0,04$	$0,41 \pm 0,01$	$0,07 \pm 0,02$
Молодые междуузлия	$2,51 \pm 0,52$	$58,9 \pm 6,1$	$22,6 \pm 4,3$	$0,14 \pm 0,05$	$0,21 \pm 0,01$	—
Зрелые листья	—	$0,11 \pm 0,03$	$0,6 \pm 0,1$	$0,22 \pm 0,05$	$0,61 \pm 0,02$	—
Междоузлия над соцветием	$0,18 \pm 0,05$	$4,9 \pm 1,3$	$46,3 \pm 5,4$	$15,8 \pm 3,4$	$9,1 \pm 1,1$	$0,45 \pm 0,11$
Пасынки	—	$0,11 \pm 0,02$	$1,34 \pm 0,42$	$1,53 \pm 0,57$	$0,16 \pm 0,02$	—
Соцветие	—	$0,17 \pm 0,04$	$16,9 \pm 3,5$	$74,3 \pm 7,2$	$38,7 \pm 3,7$	$93,6 \pm 4,4$
Междоузлия под соцветием	—	$0,05 \pm 0,01$	$2,2 \pm 1,1$	$7,8 \pm 1,2$	$50,8 \pm 5,2$	$5,9 \pm 1,4$

\* Молодые листья, в том числе подкормленные  $^{14}\text{CO}_2$ .

ности фотосинтеза. Таким образом, вводимая в колбу-реактор аликвота имела известные активность и концентрацию  $^{14}\text{CO}_2 + \text{CO}_2$ . Продолжительность экспозиции 15 мин. Модельные побеги через 3 сут срезали, делили на части, фиксировали сухим жаром при  $70^\circ\text{C}$ , образцы взвешивали, размалывали на шаровой мельнице «Ritch». Навески 10–20 мг помещали в виалы с гельобразующим сцинтиллятором ЖС-13Н и определяли радиоактивность на жидкостном сцинтилляционном счетчике 1219 Ракбета «Спектрал» фирмы LKB wallak по методике В. К. Кукушкина и Я. В. Кузякова [2]. Рассчитывали радиоактивность всего побега и распределение  $^{14}\text{C}$  по различным органам и частям побега в процентах, исключая радиоактивность листа, подкормленного  $^{14}\text{CO}_2$ . Отмечали распределение  $^{14}\text{C}$ -ассимилятов от листьев разных ярусов, а также от листа напротив соцветия. Повторность опыта 3-кратная. Статистическую обработку проводили на ПЭВМ по программе STATGRAF.

В качестве объекта исследования были выбраны 5-летние кусты вино-

града сорта Кишмиш черный *Vitis vinifera* восточной эколого-географической группы Convar orientalis Negr. Исследования проводили на опытном участке кафедры виноградарства Тимирязевской академии.

Подкормка листьев различных ярусов  $^{14}\text{CO}_2$  позволила выявить основные донорно-акцепторные отношения плодоносного побега в период цветения. Как видно из таблицы, потребителями ассимилятов прежде всего являются точка роста, молодые междуузлия и молодые активно растущие листья. Молодые листья, площадь которых составляет 25–30 % размера зрелого листа, при высокой интенсивности фотосинтеза практически полностью используют фотоассимиляты для своих активно растущих тканей и структур (таблица). Отток ассимилятов из листьев, расположенных в верхней части побега, наблюдается лишь при определенных размерах листьев — 45–50 % размера зрелого листа. При исследовании оттока  $^{14}\text{C}$ -ассимилятов из достигшего максимального размера листа, расположенного в среднем

ярусе побега, в фазу цветения не выявлено строгой ориентации транспорта; донорный лист отдает свои ассимиляты некоторым потребителям: апексу, молодым листьям, междуузлиям, соцветию. Характерно отсутствие обмена ассимилятами между зрелыми листьями, получившее название «супрового закона» [3]. Следует подчеркнуть значение ориентации нижних листьев по отношению к соцветию. В отличие от литературных данных [8, 11], согласно которым наибольшее количество ассимилятов поступает в гроздь из противолежащего листа, в наших экспериментах поступление  $^{14}\text{C}$ -ассимилятов из того же листа было значительно меньше. Четко функционирующая связь донор — акцептор характерна для листа, расположенного под соцветием в период цветения.

### Заключение

Использование предлагаемой нами методики дало возможность получить воспроизводимые результаты, позволяющие судить о распределении меченого углерода по частям побега, направленности ростовых процессов виноградного растения, вкладе отдельных листьев в обеспечение продуктами фотосинтеза, о донорных свойствах листьев. Приведенные результаты являются лишь частью исследований, которые были выполнены при использовании описанной автономной циркулирующей системы, применение

которой также возможно при изучении других аспектов фотосинтеза, дыхания и других процессов жизнедеятельности растений.

### ЛИТЕРАТУРА

1. Вознесенский В. Л., Заленский О. В., Семихатова О. А. Методы исследования фотосинтеза и дыхания растений.— М.; Л: Наука, 1965.— 2. Кукушкин В. К., Кузяков Я. В. Методика определения абсолютной активности радионуклида  $^{14}\text{C}$  в образце почвы без экстрагирования с применением гелевого сцинтиллятора.— Изв. ТСХА, 1991, вып. 1, с. 195—201.— 3. Курсанов А. Л. Транспорт ассимилятов в растении.— М.: Наука, 1976.— 4. Насыров Ю. С., Гиллер Ю. Е., Логинова М. А. и др. Применение  $^{14}\text{C}$  для изучения фотосинтетического баланса растений фитоценозов.— Бот. журнал, 1962, т. 47, № 1, с. 96—99.— 5. Ничипорович А. А., Строганова Л. Е., Чиора С. Н. и др. Фотосинтетическая деятельность растений в посевах.— М.: Изд-во АН СССР, 1961.— 6. Новицкий Ю. И. Прибор для изучения фотосинтеза с помощью  $^{14}\text{C}$  в токе воздуха.— Физиология растений, 1956, т. 3, вып. 6, с. 574—578.— 7. Рачинский В. В. Метод определения поглощения и выделения меченой двукиси углерода растениями.— Физиология растений, 1955, т. 2, вып. 2, с. 182—186.— 8. Чанишвили Ш. Ш. Передвижение ассимилятов в виноградной лозе.— Тбилиси: Изд-во АН ГССР, 1964.— 9. Bell C. J., Incoll L. D.— J. Exp. Bot., 1981, vol. 32, p. 1125—1134.— 10. Glenn E. E., Hackerman N.— Rev. Sci. Instrum., 1950, vol. 21, N 2, p. 148—149.— 11. Leonard O. A., Weaver J.— Hilgardia, 1961, vol. 31, p. 16—29.

Статья поступила 5 марта 1991 г.

### SUMMARY

Methods for generating  $^{14}\text{CO}_2$  and for its measured introduction into grape leaves using the system that provides the regime of circulation and conditioning of  $^{14}\text{CO}_2$  which allows to make research in the field, have been suggested. Using this method, the contribution of certain leaves into donor-acceptor relations of grape plant were studied.